

## Hydrogeological and geo-structural assessment of the Dreh-e-Anari spring in the Shirin Bahar karstic area, Khuzestan province

F. Hamidi zadeh<sup>1</sup>, N. Kalantari<sup>2\*</sup>,  
M. Keshavarzi<sup>2</sup> and A. Charchi<sup>2</sup>

### Abstract

In the study area Chaleh Monar and Shelar anticlines covered by the Asmari formation ( $160\text{ km}^2$ ), are heavily affected by tectonic processes. As a result a variety of structural features such as fracture, folding and faulting has been developed. The extensive exposure of carbonate rocks and suitable climatic condition (815 mm annual rainfall) created good conditions for karst phenomena in the Shirin Bahar area. The structural study indicated that in addition to large scale faults, local faults have been developed. Besides, the fracture's longitudinal density is more than the lateral density. The aim of this study was to determine hydrogeological characteristics of the Dreh-e-Anari spring with discharge of  $2.8 \text{ m}^3/\text{s}$  in Shirin Bahar area. To assess hydrogeological characteristics of the Dreh-e-Anari spring, spring's hydrograph was analyzed. Analyses of the Darah-e-Anari recession curve showed that the dominant flow regime was conduit-diffuse. The catchment area of the spring was estimated to be about  $154 \text{ km}^2$ .

**Keywords:** Limestone, Structural features, Karst, Spring, hydrograph.

Received: June 16, 2010

Accepted: January 18, 2012

## بررسی هیدروژئولوژیکی و زمین‌ساختاری چشمۀ دره‌اناری در منطقه کارستی شیرین بهار استان خوزستان

فروغ حمیدی زاده<sup>۱</sup>، نصرالله کلانتری<sup>۲\*</sup>،  
محمد رضا کشاورزی<sup>۲</sup> و عباس چرچی<sup>۲</sup>

### چکیده

در منطقه شیرین بهار تاقدیس‌های شلار و چاله‌منار با پوشش آهک آسماری ( $160 \text{ km}^2$ ) به شدت تحت تأثیر فرآیندهای تکتونیکی قرار گرفته و منجر به توسعه قابل توجه اشکال ساختمانی همچون گسل، درزه و شکستگی شده است. رخمنون وسیع سنگ‌های کربناته، گسترش این ساختارها و ویژگی‌های آب و هوای مناسب (بارندگی سالانه  $815 \text{ mm}$ )، شرایط خوبی را جهت ایجاد پدیده‌های کارستی در منطقه شیرین بهار فراهم کرده است. بررسی‌های ساختاری این منطقه نشان می‌دهد که علاوه بر گسل‌های بزرگ مقیاس، گسل‌های محلی نیز وجود دارد و تراکم درزهای طولی بیش از عرضی می‌باشد. در این تحقیق ویژگی‌های ساختاری و خصوصیات هیدروژئولوژیکی چشمۀ دره اناری با آبدی حدود  $\text{m}^3/\text{sec}$   $2/8$  در منطقه شیرین بهار مورد بررسی قرار گرفته است. برای شناسایی ویژگی‌های هیدروژئولوژیکی چشمۀ دره اناری در دوره مطالعاتی از آنالیز هیدروگراف چشمۀ استفاده شده است. نتایج بدست آمده نشان می‌دهد که رژیم جریان غالب آبخوان کارستی چشمۀ دره اناری، کانالی-انتشاری است و مساحت حوضه آبگیر این چشمۀ حدود  $154 \text{ کیلومتر مربع}$  برآورد می‌شود.

**کلمات کلیدی:** سنگ آهک، سیمای ساختاری، کارست، چشمۀ هیدروگراف.

تاریخ دریافت مقاله: ۲۶ خرداد ۱۳۸۹

تاریخ پذیرش مقاله: ۲۸ دی ۱۳۹۰

1- M.Sc. student, hydrogeology , Faculty of Earth Sciences, Shahid Chamran University of Ahwaz, Ahwaz, Iran, Email: f.hamidizadeh@gmail.com  
2- Faculty Member, Faculty of Earth Sciences, Shahid Chamran University of Ahwaz, Ahwaz, Iran

\*- Corresponding Author

۱- دانشجوی کارشناسی ارشد آبشناسی، دانشکده علوم زمین، دانشگاه شهید چمران اهواز، اهواز، ایران.

۲- عضو هیأت علمی دانشکده علوم زمین، دانشگاه شهید چمران اهواز، اهواز، ایران  
\*- نویسنده مسئول

## ۱- مقدمه

توبوگرافی رقومی متوسط ارتفاع این محدوده از سطح دریا حدود ۱۱۰۰ متر محاسبه شد. بر اساس آمار ایستگاههای هواشناسی در مجاور منطقه مورد مطالعه، متوسط بارندگی سالانه برابر ۸۱۵ میلیمتر، درجه حرارت متوسط سالانه برابر  $20^{\circ}C$  و درجه سانتی گراد می باشد و متوسط سالانه تبخیر برابر  $2523$  میلیمتر برآورد گردید.

### ۲- زمین شناسی منطقه

سازندهای زمین شناسی که در محدوده مورد مطالعه رخمنون دارند مربوط به کرتاسه فوقانی تا عهد حاضر هستند. این سازندها به ترتیب کاهاش سن شامل سازندهای پابده- گورپی، امیران، تلهزنگ، کشکان، آسماری و نهشتلهای کواترنری می باشند. در شکل ۱ نقشه زمین شناسی منطقه ارائه شده است. رخمنون سطحی آهکهای سازنده آسماری (با مساحتی حدود  $227\text{ km}^2$ ) درصد، آهکهای مارنی پابده- گورپی  $13\%$  درصد، نهشتلهای کواترنری و آبرفتی حدود  $5\%$  و سایر سازندهای جمعاً  $10\%$  درصد می باشد. رخمنون آهکی آسماری در منطقه، دارای گسترش شمال غرب- جنوب شرق می باشد که از روند ساختمانی منطقه تبعیت می کند و با توجه به مقاومت آن بلندی ها و ارتفاعات محدوده مورد مطالعه را تشکیل می دهد.

در عین حال آهک آسماری سطح ناویدیسی را نیز می پوشاند که بین تاقدیس های شلار و چاله منار قرار گرفته است و پلزه چاله منار بر روی آن ایجاد شده است. سازندهای پابده- گورپی با وسعتی حدود  $39$  کیلومتر مربع در قسمت شمال شرقی و غرب منطقه، همچنین به طور پراکنده در نواحی جنوبی منطقه رخمنون دارد. سازندهای زنگ با مساحتی حدود  $23$  کیلومتر مربع ( $7\%$  کل منطقه) بر روی سازندهای گورپی قرار دارد و کن tact کتakت فوکانی آن آهک آسماری است.

### ۳- وضعیت تکتونیکی و ساختمانی منطقه

تکتونیک فعل زاگرس چین خورده موجب ایجاد ساختارهای متعددی مانند چین ها، گسل ها و درزهای در توده های سنگی به ویژه سنگ های کربناته شده است. تاقدیس های شلار ( Shealar ) مانند چین ها، گسل ها و درزهای در توده های سنگی به ویژه سنگ های کربناته شده است. تاقدیس های شلار ( Shealar ) از ساختارهای اصلی در محدوده شیرین بهار می باشند ( شکل ۱ ). تاقدیس شلار با امتداد شمال غرب- جنوب شرق و محوری با طول  $23$  کیلومتر، تاقدیسی برگشته است که به سمت جنوب شرق پلانز دارد ( صاحبدل و همکاران،  $1387$  ). این تاقدیس در شرق پلزه چاله منار واقع شده است و به شدت تحت تأثیر فرسایش قرار گرفته است. تاقدیس چاله منار با روند شمال غرب- جنوب شرق و طول  $10$  کیلومتر یک تاقدیس پلانزدار ( میل به سمت شمال غرب ) است که

سازندهای کارستی کربناته در حدود  $11\% (185/000\text{ Km}^2)$  وسعت ایران را پوشش می دهند و رشته کوههای زاگرس  $55/2\%$  کل سنگ های کربناته کارستی در ایران را شامل می شود ( Raeisi, 2002 ). مطالعات جدید کارستی و پیشرفت های تازه در حل مسائل مربوط به کارست بیان شده است ( White, 2002 ). همچنین مطالعه ارتباط بین خطوارهای و ظرفیت ویژه در نواحی آهکی کارستی شده توسط ( Tam et al., 2004 ) انجام شده است. به منظور تعیین سیستم جریان در آبخوانهای کارستی، داده های کمی مورد نیاز و پارامترهای هیدرولیکی و ژئومتری آبخوان از طریق آنالیز هیدروگراف چشمeh بررسی شده است ( Kovacs et al. 2004 ). در رابطه با توصیف ساختاری و لیتوژوئی آبخوانهای عمده در سازندهای کارستی درز و شکافدار مطالعاتی نیز انجام شده است ( Migiros et al., 2008 ). هیدروژئولوژی و هیدرودینامیک سیستم کارستی توسط Zojer مورد بحث قرار گرفته است ( Zojer, 2008 ). تعیین حوضه های آبگیر چشمeh های تنگ آتشگاه به روش زمین شناسی و هیدروژئولوژی توسط کریمی و همکاران (  $1378$  ) صورت گرفته است. مطالعات ساختاری در رابطه با خصوصیات هیدروژئولوژیکی در محیط های کارستی نیز انجام شده است ( Kalantari, 2002 and Kalantari et al. 2010 ) ( DiGangi نقش شکستگی ها در انتقال آب را در مناطق مختلف کارستی زاگرس و البرز مورد بررسی قرار داده اند ( محمدی احمد آبادی،  $1379$  و ریاحی پور،  $1379$  ، Stadler et al. 2010 ، Ronit et al. 2010 ، Robert, 2009 ، Michelle et al. 2010 ، Ronald et al. 2010 ) ( Rahnemaei, 2005 ) (  $1387$  و  $1385$  ) مورد بررسی قرار گرفته همچنین رابطه بین دبی چشمeh ها و فراوانی شکستگی های در سازندهای مختلف توسط کلانتری و همکاران (  $1379$  و  $1385$  ) است. ارتباط آبدهی چاههای کارستی با بارندگی و زمین شناسی و تکتونیکی توسط منشادی و ریسی (  $1387$  ) مورد بررسی قرار گرفته است.

## ۲- مطالعه موردی

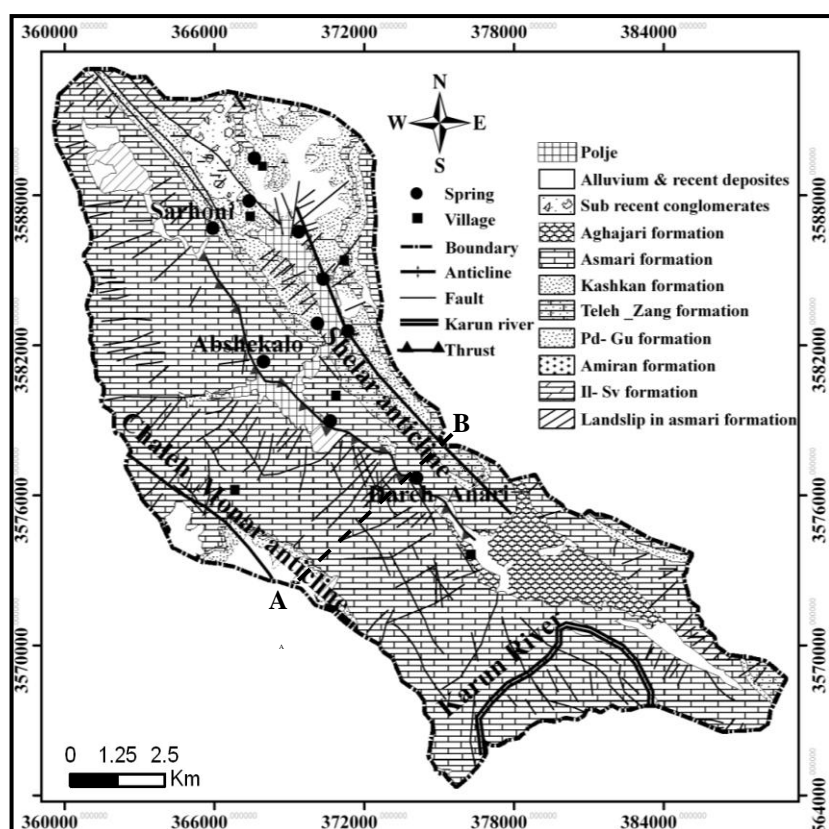
### ۱-۲- وضعیت عمومی منطقه مورد مطالعه

منطقه شیرین بهار ( شیمبار ) با مساحت  $325$  کیلومتر مربع در فاصله  $65$  کیلومتری شهر مسجد سلیمان و در قسمت جنوب غربی ایران، در محدوده عرض جغرافیایی  $15^{\circ}15'$  تا  $32^{\circ}25'$  شمالی و طول جغرافیایی  $45^{\circ}30'$  تا  $49^{\circ}45'$  شرقی واقع شده است. از لحاظ تقسیمات کشوری در شمال شرقی استان خوزستان قرار گرفته و جزء حوضه آبریز رودخانه کارون به شمار می رود. با استفاده از نقشه های

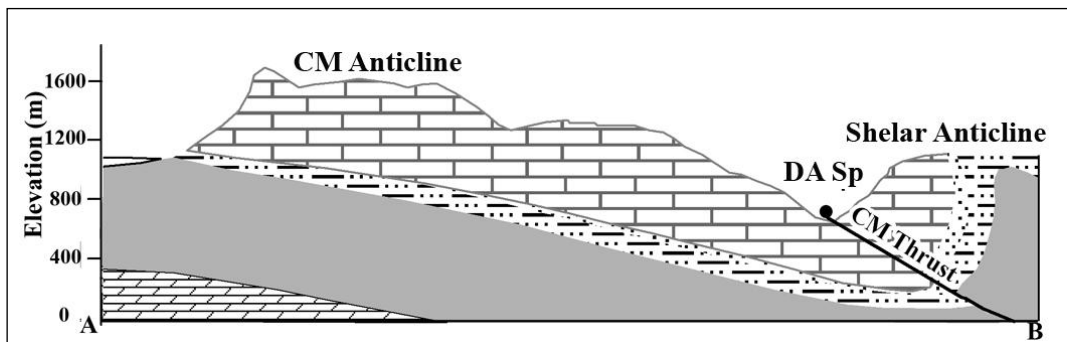
گسل تراستی باعث بالا آمدگی یال برگشته تاقدیس شلار بر روی تاقدیس چاله منار شده است. تراست مذکور بر روی سازند آهکی آسماری رخنمون دارد و در انتهای به مرز بین سازند آغاجاری و آسماری ختم می‌شود. این تراست از پلژه چاله منار گذشته و در تشکیل چشم‌های دائمی و پر آبی چون دره اناری تاثیر گذار بوده است. گسلها و شکستگی‌های دیگری به وفور در منطقه دیده می‌شود که موجب خرد شدگی لایه‌های آهکی محدوده مورد مطالعه شده است. این چشم‌هه بر روی خط اثر گسل تراستی چاله منار قرار گرفته است که وجود این گسل در تشکیل و آبدی بالای چشم‌ه نقش به سزاپی دارد (شکل ۲).

در جنوب غرب منطقه مورد مطالعه قرار دارد. در امتداد محور تاقدیس چاله منار سازندهای آسماری، تلهزنگ، پابده-گوربی و نهشته‌های کواترنری رخنمون دارد. ناودیس شلار در بخش شرقی تاقدیس شلار قرار دارد و سازند آسماری پوشش سطحی آن را تشکیل می‌دهد. شیب یال غربی این ناودیس حدود ۵۰ درجه است و زمین‌لغزش در سطح قابل توجهی در این قسمت رخ داده است.

مهمنترین گسلی که در منطقه شیرین بهار رخنمون دارد گسل تراستی چاله منار می‌باشد (شکل ۱). تراست چاله منار به طول حدود ۱۶ کیلومتر با روند شمال‌غرب-جنوب‌شرق و شیبی به سمت شمال‌شرق بین دو تاقدیس شلار و چاله منار قرار گرفته است. این



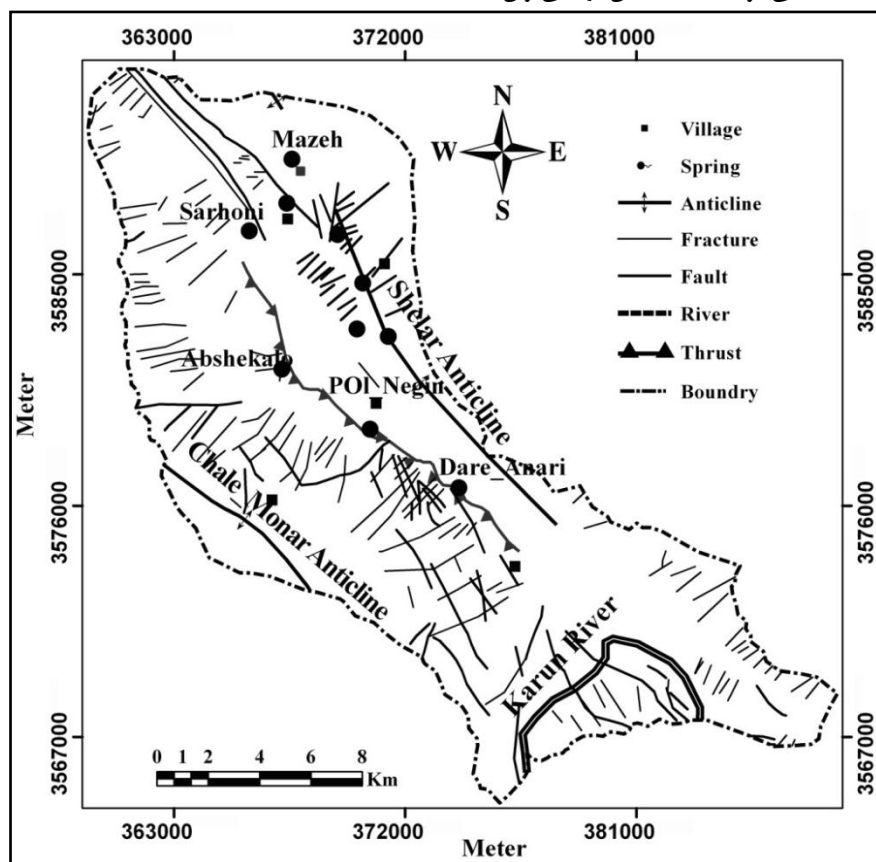
شکل ۱- نقشه زمین‌شناسی منطقه شیرین بهار



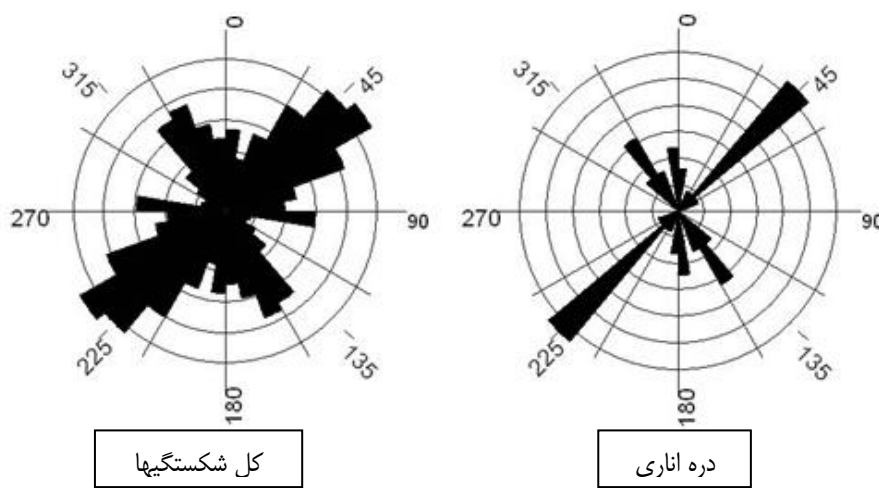
شکل ۲- مقطع زمین‌شناسی در محل چشم‌ه دره اناری (DA)

مقاومت و سختی زیاد این سازندها خصوصاً آسماری و تله زنگ نسبت دارد. سنگهای آهکی بسیار شکننده هستند و هر چه ضخامت آنها بیشتر باشد در اثر فشارهای تکتونیکی سریعتر متلاشی می‌شوند. با توجه به ضخامت زیاد سازنده آهکی آسماری در منطقه مورد مطالعه توسعه زیاد سیستم درز و شکستگی‌ها را با وجود تکتونیک فعال می‌توان توجیه نمود.

در شکل ۳ نقشه شکستگی‌های منطقه شیرین بهار ارائه شده است. با توجه به نقشه شکستگی مشاهده می‌شود که هر جا خمیدگی در محور چین‌ها دیده می‌شود، روند کلی شکستگی‌ها نیز همانگ با آنها دچار انحراف شده است. این موضوع را می‌توان در شکستگی‌های مابین تاقویس‌های شلار و چاله منار به وضوح مشاهده نمود. بیشترین درزهای شکستگی‌ها در سازندهایی مانند آسماری، ایلام-سرورک و تله زنگ مشاهده می‌شود که علت آن را می‌توان به



شکل ۳- نقشه شکستگی‌های منطقه شیرین بهار



شکل ۴- نمودار گلسرخی شکستگی‌های منطقه و شکستگی‌های اطراف چشمۀ دره اناری

محدوده چشمی دره‌اناری تشکیل می‌دهند. این شکستگی‌ها موازی با محور چین هستند و در نفوذ و هدایت آب نقش دارند. با بررسی انجام شده در شاعع معینی از این چشمی مشخص شده است که بیشتر شکستگی‌ها در اطراف این چشمی از نوع شکستگی‌های عرضی می‌باشند و دارای روندی به سمت چشمی بوده که نقش نفوذ و انتقال آب را به چشمی ایفا می‌کنند. از طرفی اغلب این شکستگی‌ها در غرب چشمی و در سازند سخت آسماری ایجاد شده اند، بنابراین قادر به زهکشی آب موجود در این سازند به سمت چشمی بباشد. با توجه به وسعت زیاد این سازند و توسعه فرایند تکتونیکی در این ناحیه می‌توان آبدی خوب این چشمی را توجیه نمود.

از طرف دیگر چشمی مذکور در امتداد تراست چاله منار قرار دارد که با توجه به توپوگرافی منطقه و کاهش ارتفاع به سمت این چشمی، این تراست هم نقش انتقال آب را به سمت چشمی ایفا می‌کند. با توجه به وجود گسل تراستی چاله منار و تراکم شکستگی‌ها، انتظار می‌رود که سرعت انتقال آب باید در حوزه آبریز چشمی دره‌اناری نسبتاً بالا و زمان ماندگاری آب کم باشد.

#### ۴- هیدروژئولوژی

##### ۴-۱- مشخصات عمومی چشمی دره اناری

در منطقه شیرین بهار ۱۱ چشمی وجود دارد که چشمی دائمی دره اناری از نظر آبدی نسبت به سایر چشمی‌ها برتری دارد و این چشمی در ارتفاع حدود ۵۵۰ متری از سطح دریا در آهک آسماری ظهرور یافته است، (جدول ۱). چشمی دائمی دره اناری در حد فاصل دو تاقدیس شلار و چاله منار و در مسیر راندگی چاله منار تشکیل شده است. از آنجا که در پایین دست این چشمی باگهای اناهی ایجاد شده‌اند و این چشمی در یک دره قرار گرفته است، وجه تسمیه این چشمی بر مبنای نام آن می‌باشد. محل ظهرور این چشمی در آهک سازند آسماری قرار دارد و از جمله چشمی‌های پر آب کارستی و دائمی منطقه مورد مطالعه می‌باشد. محل بروزد این چشمی از بیشترین تراکم شکستگی در میان چشمی‌های منطقه مورد مطالعه برخوردار است. نقشه هم تعداد شکستگی نیز این مطلب را تأیید می‌نماید، (شکل ۵).

همانطور که نمودار گلسربخی شکستگی‌های منطقه نشان می‌دهد، شکل ۴، در منطقه مورد مطالعه، روند شکستگی‌های غالب در جهت شمال شرق-جنوب غرب است و بیشتر شکستگی‌ها از نوع شکستگی‌های عرضی و کشنیده هستند و بر محور چین عمودند. این شکستگی‌ها در مناطقی به وجود می‌آیند که در اثر چین خوردگی، به موازات محور چین، لایه‌ها دچار کشش می‌شوند و در نتیجه موجب تراوایی بیشتر سازندگاه‌های سخت در منطقه شده است که از نظر هیدروژئولوژی حائز اهمیت می‌باشند.

##### ۳-۱- نقش انواع شکستگی‌ها در ارتباط با انتقال و نفوذ آب

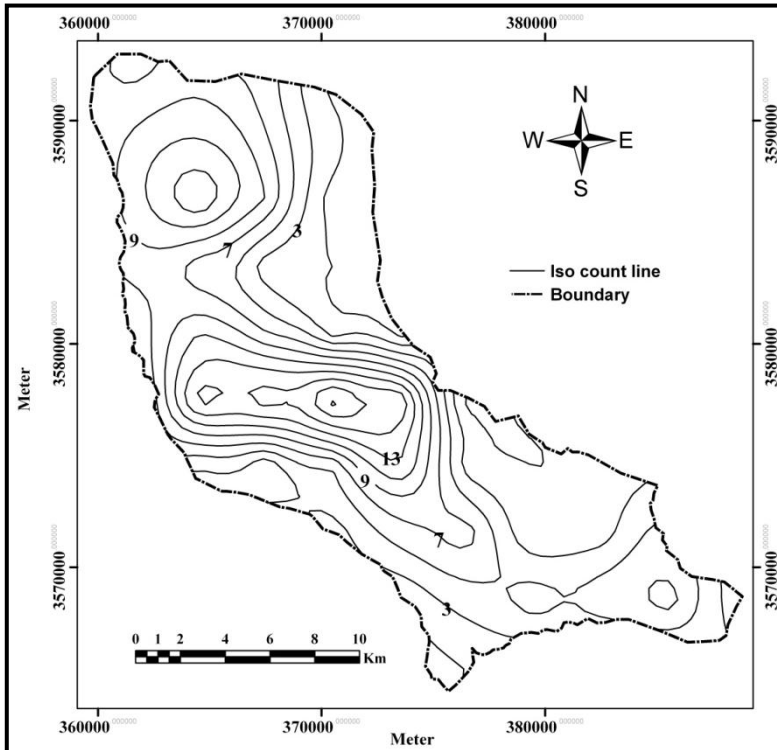
در ساختارهای ناویدیسی، شکافهای کشنیده ایجاد شده برای توسعه کارستی شدن مناسب هستند. درزهای عرضی نیز می‌توانند ارتباط هیدروژئولوژیکی مستقیمی را از طریق سنگ‌های خرد شده ایجاد نمایند (Milanovic, 1981). بطور کلی از لحاظ هیدروژئولوژیکی، مهمترین سیستم‌های درز و شکاف آنهایی هستند که از درزهای کشنیده تشکیل شده باشند. زیرا این درزهای معمولاً منجر به جدا شدن بلوک‌های سنگی می‌شوند. در منطقه شیرین بهار نتش ماقریزم تقریباً در امتداد N60E و عمود بر تاقدیس چاله منار قرار دارد که شکستگی‌های طولی را ایجاد کرده است و تنش مینیمم در راستای S35E قرار دارد که باعث تشکیل شکستگی‌های رهایی و درزهای عرضی شده است. از آنجا که شکستگی‌های عرضی و کشنیده از نظر هیدروژئولوژیکی نقش مهمتری را نسبت به سایر شکستگی‌ها ایفا می‌کنند، می‌توان تأثیر آنها را در جهت‌یابی جریان آب زیر زمینی در منطقه مورد توجه قرار داد.

##### ۳-۲- بررسی شکستگی‌ها در بروزد چشمی دره اناری

چشمی دره‌اناری در امتداد تراست چاله منار و در منطقه ای با ارتفاع کم نسبت به نواحی اطراف بروزد دارد. همانطور که در نمودار گلسربخی (شکل ۴) مشاهده می‌شود، در اطراف چشمی دره‌اناری روند غالب شکستگی‌ها در جهت N45E است که این روند حدود ۴۰ درصد از شکستگی‌ها را تشکیل می‌دهد. این نوع شکستگی‌ها عمود بر محور چین بوده و جزء شکستگی‌های عرضی به شمار می‌آیند و نقش بارزی در نفوذ و انتقال آب دارند. شکستگی‌های طولی دارای روند S35E می‌باشند و حدود ۲۳ درصد از کل شکستگی‌ها را در

جدول ۱- مشخصات چشمی دره اناری

طول جغرافیایی	عرض جغرافیایی	ارتفاع (m)	دبی متوسط (m <sup>3</sup> /sec)	EC (μmho/cm)	TDS (mg/l)	pH	دما (°C)
۳۷۴۰.۹۶	۳۵۷۶۷۰.۲	۵۴۹	۲/۸۰	۵۰۷	۴۰۰	۷/۰	۱۸



شکل ۵- نقشه هم تعداد شکستگی در منطقه شیرین بهار

ترسیم گردید و میزان آبدهی برای مقادیر قرائت شده اشل به صورت روزانه به دست آمد.

#### ۴-۲- هیدروگراف چشمه دره اناری

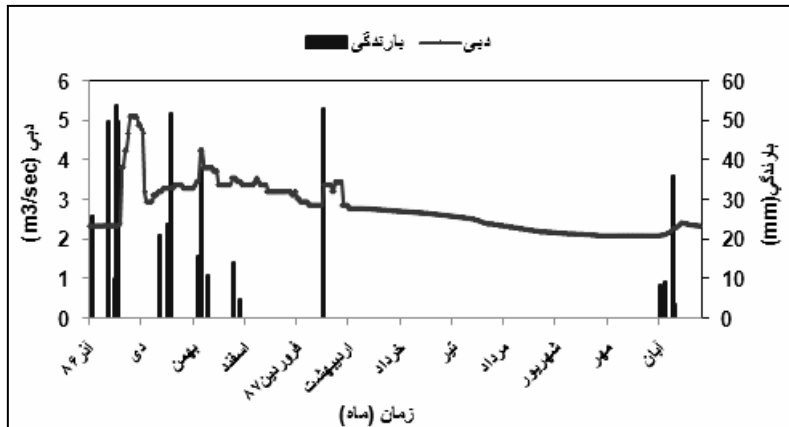
هیدروگراف چشمه امکان کسب اطلاعات مهمی در مورد ویژگی‌های هیدروژئولوژیکی سیستم آبخوان چشمه را فراهم می‌آورد و با تحلیل صحیح آن می‌توان رفتار سیستم زهکشی حوضه کارستی را بررسی نمود، (شکل ۶).

#### ۴-۱- میزان بارش و افت و خیز هیدروگراف چشمه دره اناری

در اثر بارش‌هایی که از اول آذر تا ۱۷ آذر ماه سال ۱۳۸۶ رخ داده است، اولین پیک در هیدروگراف ایجاد شده است که ظاهراً بزرگ‌ترین پیک در هیدروگراف می‌باشد و دبی ماکریمم  $5/11$  متر مکعب بر ثانیه را نشان می‌دهد. در دی ماه سه بارش در فواصل زمانی چند روزه رخ داده است که از ۱۲ تا ۱۹ دی ماه ادامه داشته است و در مجموع ۲۱ میلی‌متر برف و ۷۶ میلی‌متر باران بوده است. بعد از این بارش‌ها، افزایش دبی در هیدروگراف چشمه ظاهر شده است. در این زمان با توجه به اینکه مجموع دو بارندگی اوایل دی ماه نسبت به بارندگی‌های قبل کمتر بوده است، پیک کوچکتری نسبت

چشمeh دره اناری با حداقل آبدهی  $5/10$  متر مکعب در ثانیه (در سال ۸۶-۸۷)، از بیشترین آبدهی در میان چشمه‌های مورد مطالعه برخوردار است. آبدهی متوسط این چشمه در حدود  $2/81$  است و تغییرات آبدهی این چشمه در طول سال آبی خود معروف نقش شکستگی‌ها و وجود مجاري انحلالی در سیستم هیدروژئولوژیکی آبخوان آهکی می‌باشد. با توجه به اختلاف ارتفاعی که بین این چشمه با سایر چشمه‌های منطقه وجود دارد، آب جاری حاصل از بارش‌های جوی در بالادست و از جمله در پلزار چاله منار در امتداد تراست چاله منار به سمت پایین دست حرکت کرده و به حوضه آبریز چشمه دره اناری وارد می‌شود. برای اندازه گیری آبدهی چشمه دره اناری در پایین دست این چشمه محل مناسبی برای نصب اشل انتخاب و اقدام به نصب سه اشل به طول یک متر گردید و قرائت اشل به صورت روزانه توسط افراد محلی انجام شد.

جهت اندازه گیری آبدهی چشمه در طول سال آبی ۲۰۰۷-۲۰۰۸ عرض رودخانه دره اناری به چندین مقطع ۲ متری تقسیم گردید و برای هر مقطع در چندین دوره سرعت (توسط دستگاه مولینه و بر اساس فرمول تعريف شده برای دستگاه مورد نظر) و عمق آب اندازه گیری شد. سپس با توجه به سرعت میانگین در هر مقطع و عمق اندازه گیری شده، دبی چشمه محاسبه و نمودار دبی- اشل



شکل ۶- هیدروگراف چشممه دره اناری و میزان بارندگی

اфт قابل ملاحظه ای را نشان می دهد تا اینکه به تدریج میزان دبی خروجی به دبی پایه رسیده و تغییرات ناچیزی را نشان می دهد.

#### ۲-۲-۴- تجزیه و تحلیل بخش نزولی هیدروگراف چشممه دره اناری

از طریق تجزیه و تحلیل هیدروگراف چشممه می توان ضرائب فرود و حجم دینامیکی را محاسبه نمود. جهت انجام این محاسبات بخش های مختلف منحنی فروکش چشممه دره اناری در دوره محاسباتی تفکیک شده اند (شکل ۷). این منحنیها نیمه لگاریتمی می باشند و در آنها آبدھی روزانه چشممه با مقیاس لگاریتمی در مقابل زمان ترسیم می شوند.

(1948) Schoeller مطابق یک مبنای نظری که توسط (1904) Boussinesq و (1905) Maillet تهیه شده بود روشی را با استفاده از بخش فروکش هیدروگراف توسعه داد (آغازی، ۱۳۷۸). روش کمی کار بر اساس شکل عمومی معادله زیر می باشد که برای منحنی های فروکش هیدروگراف آبخوان هنگامی که جریان ورودی عملاً صفر است، مناسب می باشد:

$$Q_t = Q_0 e^{-\alpha(t-t_0)} \quad (1)$$

$Q_t$  : آبدھی چشممه در طول دوره  $t-t_0$  بر حسب  $m^3/sec$

$Q_0$  : آبدھی چشممه در زمان  $t_0$  بر حسب  $m^3/sec$

$t_0$  : زمان شروع محاسبه تخلیه آب از آبخوان

: زمان پایان دوره محاسبه

$\alpha$  : ضریب فروکش

: پایه لگاریتم طبیعی

به مورد قبل ایجاد شده است و دبی خروجی در این مرحله از ۲/۸۷ به ۳/۳۹ متر مکعب بر ثانیه فرازیش یافته است. این میزان افزایش با توجه به مجموع بارندگی کمتر در این دوره نسبت به دوره بارندگی قبلی قابل توجیه است. در واقع با شروع بارش برف و سپس اولین باران در دی ماه منحنی هیدروگراف به صورت تدریجی روند صعودی را نشان می دهد. پس از آخرین بارندگی حدود ۵۲ میلی متر در ۱۹ دی ماه، پیک مشخصی در هیدروگراف ظاهر می شود و دبی ماکزیمم ۴/۲۵ متر مکعب بر ثانیه را نشان می دهد.

در منطقه کوهستانی شیمبار در ماههای بهمن و اسفند علاوه بر بارشهای باران، بارش بصورت برف نیز وجود دارد و نوسانات هیدروگراف متأثر از نفوذ بخش از آب باران و بخش قابل توجهی از آب برف که به تدریج ذوب می شود قرار گرفته است. در فصل زمستان امکان ذوب برف کمتر است و در نتیجه تأثیر آن بر روی هیدروگراف کاهش می یابد.

در نیمه دوم فروردین ماه بارش برف به میزان ۵۳ میلی متر رخ داده است. با رسیدن جریان ناشی از ذوب برف دبی چشممه به ۳/۹۶ متر مکعب بر ثانیه افزایش یافته است. با توجه به اینکه با شروع فصل بهار و گرم شدن هوا ذوب برفها هم با سرعت بیشتری رخ می دهد، بنابرین با زمان تأخیر کمتری نسبت به بارشهای برف قبلی اثر آن بر روی منحنی دیده می شود که با شماره ۷ نشان داده می شود.

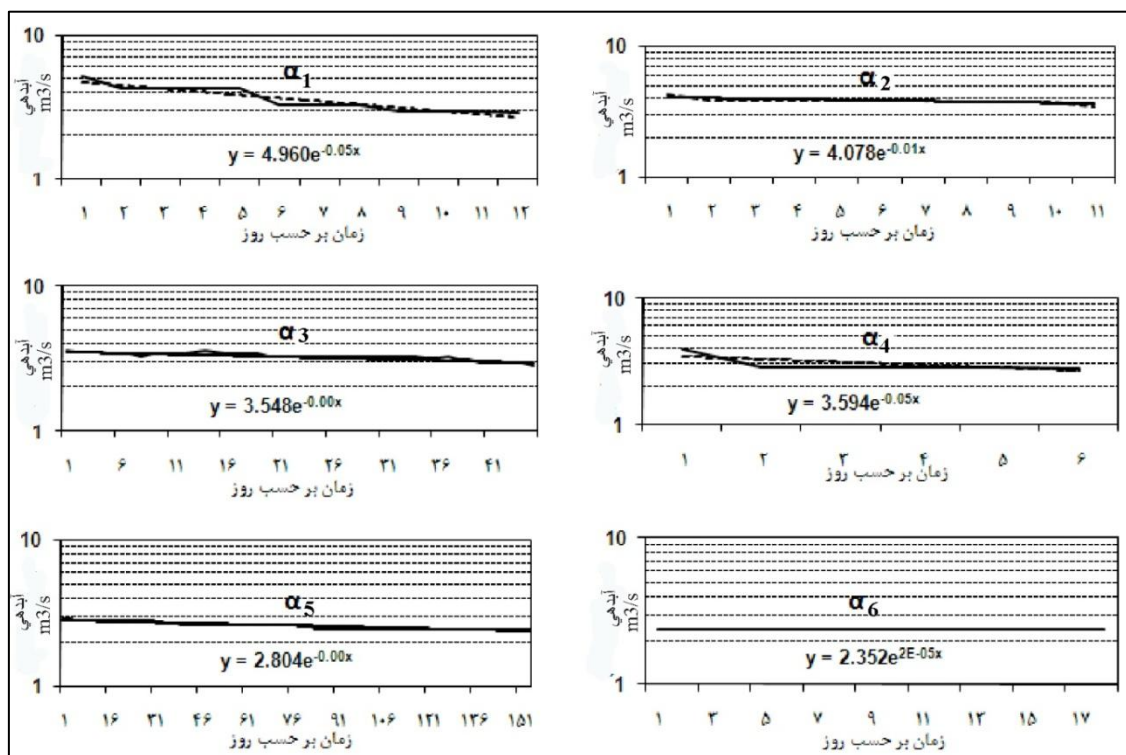
نکته قابل توجه در این هیدروگراف، زمان تأخیر پاسخ چشممه به هر دوره بارندگی می باشد که در همه موارد به مدت چند روز پس از هر دوره بارش می باشد. در انتهای دوره بارندگی، با متوقف شدن بارش (۲۰ فروردین ماه) که تنها بارش بهاره رخ داده است، هیدروگراف

بارندگی اواسط دی ماه، آب مخزن تخلیه شده را تا حدود زیادی تأمین نموده و بارندگی اوایل بهمن ماه نقطه اوجی در هیدروگراف ایجاد کرده است و در نهایت منجر به تشکیل ضربی افت  $\alpha_2$  شده است. تغییرات دبی در میکرو رژیم  $\alpha_3$  از  $3/56$  به  $2/79$  متر مکعب بر ثانیه بوده و در طول مدت ۴۵ روز (۲۸ بهمن ماه ۱۳۸۶ تا ۱۲ فروردین ۱۳۸۷) رخ داده است.

با توجه به شبکه کم منحنی تخلیه آب بطور آهسته‌تر و در مقایسه با موارد قبلی در مدت زمان طولانی تری اتفاق افتاده است و می‌توان چنین استنباط نمود که ناشی از تخلیه ذخایر موجود در مجاري کوچکتر در سیستم می‌باشد که با سرعت کمتری صورت گرفته است. پس از بارش فروردین ماه، تغییرات مشخصی در دبی چشممه از  $3/45$  به  $2/79$  متر مکعب بر ثانیه مشاهده می‌شود که در مدت زمان ۶ روز (۳۱ فروردین تا ۵ اردیبهشت ۱۳۸۷) رخ داده و باعث شکل‌گیری میکرو رژیم  $\alpha_4$  شده است. در نتیجه افزایش سطح آب پس از بارندگی فروردین ماه، شبکه هیدرولیکی افزایش یافته است. بنابراین سرعت تخلیه آب در این مقطع زمانی بیشتر شده و باعث ایجاد جریان متلاطم می‌شود و نشان دهنده رژیم کanalی جریان می‌باشد. بخش  $\alpha_5$  نشان دهنده تخلیه آهسته چشممه و تغییرات دبی از  $2/87$  به  $2/44$  متر مکعب بر ثانیه می‌باشد که با شبکه بسیار ملایم در شکل ۹ نشان داده شده است.

میکرو رژیم  $\alpha_1$  جریان خروجی از مجاري سیستم‌های کارستی را مشخص می‌کند که در آن رژیم جریان از نوع کanalی است. در این میکرو رژیم، آبدهی از  $5/11$  به  $2/87$  متر مکعب بر ثانیه در مدت زمان ۱۲ روز (۲۷ آذر تا ۸ دی ماه ۱۳۸۶) کاهش یافته است. این حالت تعیین کننده ذخایر دینامیکی موقع بوده که خیلی سریع تخلیه شده و نشان دهنده توسعه سیستم کanalی می‌باشد و این واقعیت را بیان می‌کند که چشممه نسبت به بارندگی پیوسته و قابل توجهی که در آذر ماه ۱۳۸۶ روی داده است عکس العمل نشان داده و حجم زیادی از آب توسط مجاري توسعه یافته کارستی تخلیه شده است. میکرو رژیم  $\alpha_1$  جریان خروجی از مجاري سیستم‌های کارستی را مشخص می‌کند که در آنها جریان متلاطم غالب است و بخش وسیعی از آبخوان کارستی منطقه نیز به صورت موقعیت فعال می‌شود.

میکرو رژیم  $\alpha_2$  در مدت زمان یازده روزه رخ داده و نشان دهنده تغییر آشکار دبی از  $4/25$  به  $3/39$  متر مکعب از ۸ بهمن تا ۱۸ بهمن ماه ۱۳۸۶ می‌باشد. در این دوره حجم آب کمتری نسبت به حالت قبل از آبخوان تخلیه شده و این تخلیه با سرعت کمتری صورت پذیرفته است. مقدار کمتر ضربی  $\alpha_2$  نسبت به  $\alpha_1$  بیشتر به خاطر میزان بارندگی کمتر نسبت به بارندگی آذر ماه می‌باشد. بارندگی‌های دی ماه و اوایل بهمن ماه با فاصله نسبتاً زیادی از هم رخ داده‌اند و این بارندگی‌ها قادر به افزایش دبی چشممه نبوده‌اند.



شکل ۷- بخش‌های مختلف منحنی فروکش چشممه دره اناری

تعیین نوع جریان آبخوان کارستی، بر روی آبنمود چشمء دره اناری جریان پایه (Base flow) و جریان سریع (Quick flow) تفکیک شده و مقادیر مربوط به هر کدام در جدول ۳ ارایه شده است.

**جدول ۳- جداسازی جریان پایه و جریان سریع در رژیمهای مختلف جریان چشمء دره اناری**

حدکثر آبدھی $m^3$ (/Sec)	درصد جریان		حجم جریان ( $10 \times m^3$ )			مدت دوره
	جریان سریع	جریان پایه	مجموع	جریان سریع	جریان پایه	
۵/۱۱	۳۸/۸۴	۶۱/۱۶	۳۶/۴۹	۱۴/۱۷	۲۲/۳۳	کل دوره
۵/۱۱	۲۶/۲۶	۷۳/۷۴	۵/۱۰	۱/۳۴	۳/۷۶	ریز رژیم $\alpha_1$
۴/۲۵	۳۴/۲۷	۶۵/۷۳	۳/۴۰	۱/۱۶	۲/۲۳	ریز رژیم $\alpha_2$
۳/۵۶	۳۰/۳۶	۶۹/۶۴	۱۳/۹۹	۴/۲۵	۹/۷۵	ریز رژیم $\alpha_3$
۳/۹۶	۳۴/۱۲	۶۵/۸۸	۲/۱۶	۰/۷۴	۱/۴۲	ریز رژیم $\alpha_4$
۲/۸۷	۸/۳۷	۹۱/۶۳	۳۳/۴۶	۲/۸۰	۳۰/۶۶	ریز رژیم $\alpha_5$
۲/۳۶	.	۱۰۰	۳/۶۶	.	۳/۶۵	ریز رژیم $\alpha_6$

از نظر مورفولوژی، آبخوان کارستی چشمء دره اناری، آهک نسبتاً برھنه و در بخش‌هایی با کمی پوشش خاک و به شدت درز و شکافدار است و ضریب تعییرات سختی کل، بیش از ۱۰ درصد می‌باشد. با توجه به جدول ۴، رژیم جریان در آبخوان چشمء دره اناری از نوع مجرایی- افسان می‌باشد. در آبدھی کل چشمء دره اناری، سهم جریان سریع از جریان پایه کمتر است، ولی با توجه به اینکه اختلاف قابل ملاحظه ای بین آنها وجود ندارد، نمی‌توان در تعیین رژیم جریان به آن مورد استناد کرد. از طرف دیگر، با توجه به شرایط ساختاری و مورفولوژی محدوده چشمء دره اناری، میزان آبدھی این چشمء و تعییرات زیاد آن باید اذعان داشت که جریان غالب آن از نوع جریان کانالی بوده و بنابراین رژیم جریان مجرایی- افسان را برای این چشمء مورد تأیید قرار می‌گیرد.

**۴- محاسبه حجم ذخیره دینامیکی آبخوان چشمء دره اناری**  
حجم آب در آبخوان بطور پیوسته در هر دو توزیع زمانی و مکانی تغییر می‌کند. با توجه به معادله Maillet جریان خروجی آب از یک آبخوان به صورت زیر محاسبه می‌شود:

تعییرات دبی کم به مدت ۱۵۵ روز در این میکرو رژیم بیانگر این موضوع است که در نتیجه کاهش بارندگی سطح تراز آب در آبخوان کارستی پایین‌تر بوده و تخلیه آب با سرعت کمتری صورت گرفته است و نحوه تخلیه مشابه رژیم انتشاری می‌باشد.

#### ۴-۲-۴- محاسبه ضرایب فروکش چشمء دره اناری

ضریب  $\alpha$  نشانگر توانایی تخلیه آب زیرزمینی می‌باشد و نتیجه خصوصیات هیدرولوژیکی محیط یعنی تخلخل مؤثر و ضریب قابلیت انتقال آبخوان است. هنگامی که تأخیر زیرزمینی زیاد می‌شود (منحنی فروکش با شیب کمتر اما دوره طولانی تر)، میزان این ضریب کاهش می‌یابد. در اکثر موارد تخلیه آبخوان کارستی با چندین ضریب تخلیه متفاوت که نشان دهنده رژیمهای مختلف تخلیه آبخوان می‌باشند، بدست می‌آید. در هیدرولوگراف چشمء دره اناری شش رژیم متفاوت تخلیه قابل مشاهده است، شکل ۹.۲ مقادیر محاسبه شده ضرایب فروکش چشمء دره اناری در جدول ۲ ارائه شده‌اند.

**جدول ۲- ضرایب فروکش چشمء دره اناری و طول مدت تأثیر آنها**

سال ۱۳۸۷-۱۳۸۶		
مقدار ضریب فروکش	مدت دوره (روز)	$\alpha_1$
۰/۰۴۸	۱۲	
مقدار ضریب فروکش	مدت دوره (روز)	$\alpha_2$
۰/۰۲۱	۱۱	
مقدار ضریب فروکش	مدت دوره (روز)	$\alpha_3$
۰/۰۰۵	۴۵	
مقدار ضریب فروکش	مدت دوره (روز)	$\alpha_4$
۰/۰۳۵	۶	
مقدار ضریب فروکش	مدت دوره (روز)	$\alpha_5$
۰/۰۰۱	۱۵۵	
مقدار ضریب فروکش	مدت دوره (روز)	$\alpha_6$
۰/۰۰۰۲	۱۸	

#### ۴-۳-۴- بررسی نوع جریان در آبخوان کارستی چشمء دره اناری

White & Schmidt (1966) و White & Schmid (1969) سیستم جریان آب زیرزمینی را در آبخوان‌های کارستی بر اساس رفتار هیدرولوگی چشمء‌های کارستی به دو نوع افسان و مجرایی تقسیم کردند. جهت

**جدول ۴- پارامترهای تعیین کننده سیستم جریان در مناطق کارستی (Raeisi, E. et al. 1993)**

نوع جریان	مورفولوژی سطحی	ضریب تغییرات سختی کل (درصد)	انحراف معیار درجه حرارت (°C)	نسبت جریان پایه و سریع
مجرایی	چاهک، درزه و شکافهای آهک برنه	رژیم کل و رژیم‌های فرعی بیشتر از ۱۰ درصد	> ۱/۵	قسمت اعظم بدنه چشمۀ از جریان سریع
مجرایی - افshan	چاهک، درزه و شکافهای آهک برنه	رژیم کل بیشتر از ۱۰ درصد و رژیم‌های فرعی کمتر از ۱۰ درصد	< ۱/۵	جریان سریع بیش از جریان پایه
افshan - مجرایی	آهک برنه و پوشش خاک	رژیم کل بیشتر از ۱۰ درصد و رژیم‌های فرعی کمتر از ۱۰ درصد	< ۱/۵	جریان سریع کمتر از جریان پایه
افshan	آهک برنه و پوشش خاک	رژیم کل کمتر از ۱۰ درصد	<< ۱/۵	قسمت اعظم بدنه جریان پایه

گسترده تشکیل شده است، این ضریب تا ۹۰ درصد افزایش می‌یابد. در منطقه مورد مطالعه و در حوالی چشمۀ دره‌اناری، علی‌رغم وجود مورفولوژی کارستی و توسعه درز و شکاف در منطقه، آبروچاله (دولین) در محدوده چشمۀ دره اناری مشاهده نشد و عمده نفوذ در منطقه از طریق درزه‌ها و شکافها صورت می‌گیرد که این درزه و شکافها به میزان زیادی در منطقه گسترش دارند. در منطقه مورد مطالعه، جهت محاسبه مساحت حوضه آبگیر چشمۀ دره اناری، مقدار متوسط نفوذ برابر با ۵۰ درصد درنظر گرفته شده است.

مقدار متوسط بارندگی سالانه در منطقه از روی داده‌های ایستگاه‌های هواشناسی و با توجه به ارتفاع متوسط منطقه حدود ۸۱۵ میلیمتر برآورد شده است. میزان تخلیه چشمۀ دره اناری نیز حدود ۷۷ میلیون متر مکعب (از روی دبی روزانه اندازه گیری شده) برآورد شده است. با توجه به مقادیر به دست آمده و بررسی‌های صحراوی مساحت حوضه آبگیر چشمۀ دره اناری ۱۵۴ کیلومتر مربع محاسبه شده است. حوضه آبگیر چشمۀ دره اناری برای درصدهای مختلف نفوذ محاسبه شده و در جدول ۵ آورده شده است.

**جدول ۵- مساحت حوضه آبگیر چشمۀ دره اناری برای درصدهای نفوذ مختلف**

ضریب نفوذ (%)	مساحت حوضه آبگیر (Km <sup>2</sup> )	۳۰	۴۰	۵۰	۶۰
۲۵۷	۱۹۳	۱۵۴	۱۲۹		

### ۵- هیدروشیمی چشمۀ دره‌اناری

در شکل ۸ نمودار پایپر چشمۀ دره‌اناری برای زمان‌های مختلف نمونه‌برداری ترسیم شده است. بر اساس این نمودار در چشمۀ دره‌اناری تواتر یونی (تغییرات یونی) به صورت زیر می‌باشد:

$$V_t = Q_0 e^{-\alpha(t-t_0)} / \alpha \quad (2)$$

$\alpha$  : ضریب تخلیه

$t - t_0$  : دوره محاسبه

e: پایه لگاریتم طبیعی

$Q_0$ : آبدۀ چشمۀ در زمان  $t_0$

(۳)

$$V_0 = 86400 (Q_{01} / \alpha_1 + Q_{02} / \alpha_2 + Q_{03} / \alpha_3 + \dots + Q_{0n} / \alpha_n)$$

با توجه به روابط مذکور حجم ذخیره دینامیک آبخوان چشمۀ دره اناری حدود ۸۰ میلیون متر مکعب محاسبه شده است.

### ۴- تعیین مساحت حوضه آبگیر چشمۀ دره‌اناری

در این مطالعه به منظور بدست آوردن مساحت حوضه آبگیر چشمۀ دره اناری از روش محاسبه ذخیره دینامیک در آهک‌های کارستی استفاده شده است. این روش قبلًاً توسط بسیاری از محققین از جمله Karimi et al. (۱۳۸۰) و کریمی (۱۳۸۰) استفاده شده است.

در این روش مساحت حوضه آبگیر مربوط به هر چشمۀ با استفاده از فرمول زیر محاسبه می‌شود:

$$V = C I A \quad (4)$$

V: میزان تخلیه سالانه چشمۀ (m<sup>3</sup>/year)

C : درصد نفوذ بارندگی و I : متوسط بارندگی (m) و A : مساحت حوضه آبگیر چشمۀ (m<sup>2</sup>)

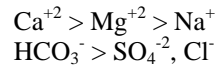
مقدار ضریب نفوذ پذیری به عوامل زیادی از جمله میزان و نوع نزولات جوی، شدت بارندگی، تراکم تعداد و طول درزه‌ها، گسترش و عمق بازشدنی درزه‌ها، حضور دولین‌ها و فروچاله‌ها و ... بستگی دارد. ضریب نفوذ معمولاً در مناطقی که آبروچاله بطور وسیعی وجود ندارد بین ۴۰ تا ۶۰ درصد می‌باشد و در مناطقی که آبروچاله به طور

اغلب شکستگی‌های اطراف چشمه دره‌اناری در غرب چشمه و در سازند سخت آسماری واقعند، بنابرین قادر به زهکشی آب موجود در این سازند به سمت چشمه می‌باشد. با توجه به وسعت زیاد این سازند و توسعه فرایند تکتونیک در این ناحیه می‌توان آبدهی خوب این چشمه را توجیه نمود. از طرف دیگر چشمه مذکور در امتداد تراست چاله منار قرار دارد که با توجه به توپوگرافی منطقه و کاهش ارتفاع به سمت این چشمه، این تراست هم نقش انتقال آب را به سمت چشمه ایفا می‌کند.

چشمه دره اناری از نوع نقلی بوده و در دسته چشمه‌های دارای منشا کاتالی قرار می‌گیرد. با توجه به نقشه هم تعداد شکستگی، در محل بروند این چشمه بیشترین تراکم شکستگی دیده می‌شود. چشمه دره اناری با حداقل آبدهی  $5/11$  و حداقل ۲ متر مکعب در ثانیه (سال ۸۶-۸۷)، از بیشترین آبدهی در میان چشمه‌های منطقه برخوردار است.

با توجه به هیدروگراف چشمه، ارتباط نزدیکی بین شکل هیدروگراف و میزان و نوع بارندگی وجود دارد. همچنین زمان تأخیر پاسخ چشمه به هر دوره بارندگی، در همه موارد تقریباً یکسان و به مدت چند روز پس از هر دوره بارش می‌باشد.

در هیدروگراف چشمه دره اناری شش رژیم متفاوت تخلیه قابل مشاهده است. میزان حجم ذخیره دینامیک چشمه دره‌اناری حدود ۸۰ میلیون متر مکعب برآورد شده است.

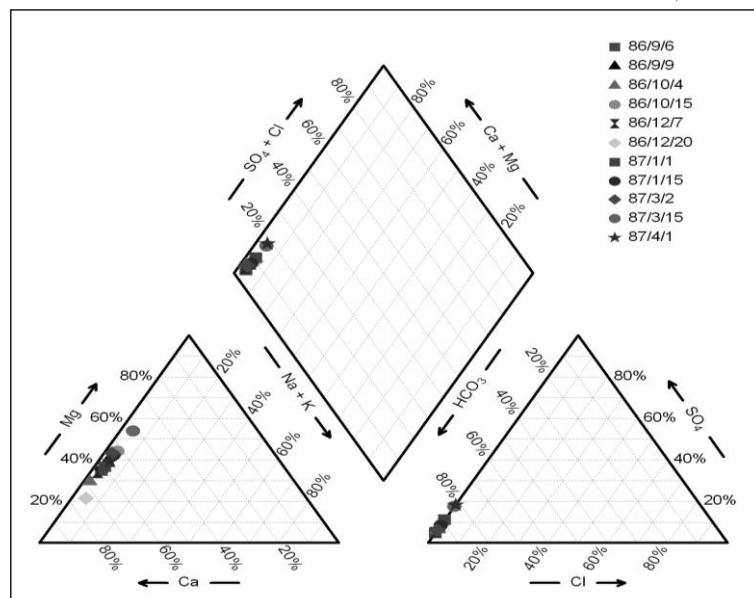


بیکربنات و کلسیم، آئیون و کاتیون غالب در آب چشمه بوده و بالا بودن غلظت این عناصر در ارتباط با طبیعت آهکی و انحلال سنگ آهک آسماری است و در چشمه دره‌اناری نسبت کلسیم و منیزیم با زمان تغییر می‌کند و تکامل کانیونی تعییت می‌کند. بر اساس نمودار پایپر تیپ آب این چشمه، بیکربناته کلسیک-منیزیک و بیکربناته منیزیک-کلسیک است و چنین تغییراتی در تیپ از روند تغییرات دبی و الگوی جریان در مخزن کارستی پیروی می‌کند. به طوری که در ابتدا که جریان مجرایی است و زمان ماندگاری آب در مجرایی کم است تیپ آب بیکربناته کلسیک-منیزیک است ولی به تدریج میزان جریان مجرایی کم شده و تاخیر آب در آبخوان بیشتر و تیپ آب به سمت بیکربناته منیزیک-کلسیک متغیر می‌شود.

## ۶- نتیجه گیری

در اطراف چشمه دره‌اناری غالب شکستگی‌ها از نوع شکستگی‌های عرضی با روند N45E می‌باشد و نقش بارزی در نفوذ آب و نیز انتقال آب در جهت عمود بر لایه بندی دارد. شکستگی‌های طولی با روند S35E در نفوذ آب و انتقال آب در امتداد لایه بندی دارند.

با توجه به وجود گسل تراستی چاله منار که از محدوده سرخونی در شمال منطقه تا چشمه دره اناری در جنوب شرق منطقه امتداد دارد نقش مهمی در انتقال آب از بالادست منطقه به این چشمه ایفا کند. لذا انتظار می‌رود که سرعت انتقال آب باید در حوزه آبریز چشمه دره‌اناری زیاد و زمان ماندگاری آب کم باشد.



شکل ۸- نمودار پایپر چشمه دره‌اناری

کریمی ح، رئیسی ع. و زارع م. (۱۳۷۸). تعیین حوضه آبگیر چشمه‌های تنگ آتشگاه به روش زمین شناسی و هیدروژئولوژی، سومین همایش انجمن زمین شناسی ایران.

کریمی، ا. (۱۳۸۰). مطالعه هیدروژئولوژیکی آبخوانهای کارستی تاقدیس پایده - لالی. رساله کارشناسی ارشد آبهای زیرزمینی، گروه زمین شناسی دانشگاه شهید چمران اهواز.

کلانتری، ن، کرمی فرد، م. و چرچی، ع. (۱۳۸۵). بررسی اثر شکستگیها بر ظهور چشمه‌های سردشت شهیون در استان خوزستان، فصلنامه علمی پژوهشی علوم زمین، ۶۲، ۶۲-۷۱.

محمدی احمد آبادی، ر. (۱۳۷۹). بررسی پدیده‌های کارستی منطقه بشهیر با استفاده از ردیابی و هیدروشمیمی، پایان نامه کارشناسی ارشد آبهای زیرزمینی، دانشگاه شهید چمران اهواز.

محمدی احمد آبادی، و کلانتری، ن، (۱۳۷۹). بررسی هیدروشمیمیایی منابع آب ارتقاعات جنوب بشهیر و ارتباط آن با توسعه کارست در منطقه. چهارمین انجمن زمین شناسی ایران - دانشگاه تبریز، ص ۷۰-۶۷.

منشادی، م. و ریسی، ع. (۱۳۸۷). بررسی اثر بارندگی بر آبدی چاههای سازندهای کارستی زاگرس. مجموعه مقالات دوازدهمین همایش انجمن زمین شناسی ایران، ص ۲۶۰-۲۵۱.

نیک پیمان، ی، کرمی، غ، امیدی، پ، (۱۳۸۷). چشمۀ قلل دامغان به عنوان یک چشمۀ کاملاً افشار. مجموعه مقالات دوازدهمین همایش انجمن زمین شناسی ایران، ص ۸۸۶-۸۸۶.

Boussinesq, J., (1904). Recherches théoriques sur l'écoulement des nappes d'eau infiltrées dans le sol et sur le débit des sources. *J. Math. Pure Appl.* No 10. pp. 5-78.

Kalantari N, Keshavarzi M.R, Hamidzadeh. F and Sahebde M, (2010). Characteristics of heterogeneous Shimbar karstic systems in southwest Iran. Advances in Research in Karst Media, Environmental Earth Sciences, pp. 69-74.

Kalantari.N., 2002. Groundwater Tracing in The Poshte-e- Naz Karstic area in northern Iran, evolution of Karst Conference Postojna, Slovenia, pp. 179-183.

Karimi, H., Raeisi, E., Zare, M., (2003). Hydrodynamic behavior of the gilan karst spring, west of Zagros, Iran, Cave and Karst Science, 30 (1), pp. 5-22.

Kovacs, A., Perrochet, p., Kiraly, L.,and Jeannin, p., (2004). A quantitative method for the characterization of karst aquifers based on spring

با توجه به مورفوژئولوژی سطحی، میزان درز و شکاف و نوع پوشش منطقه، تغییرات ضربی سختی کل و سهم جریان سریع در آبدی کل چشمۀ، رژیم جریان در آبخوان چشمۀ دره‌هایی را می‌توان افشار - مجرای در نظر گرفت. از طرف دیگر، با توجه به شرایط ساختاری و مورفوژئولوژی محدوده چشمۀ دره اثاری، میزان آبدی این چشمۀ و تغییرات زیاد آن باید اذعان داشت که جریان غالب آن از نوع جریان کانالی بوده و بنابراین رژیم جریان مجرایی - افشار را برای این چشمۀ مورد تأیید قرار می‌گیرد.

مساحت حوضه آبگیر چشمۀ دره اثاری با احتساب مقدار متوسط نفوذ ۵۰٪ برابر با ۱۵۴ کیلومتر مربع محاسبه شده است.

تیپ آب این چشمۀ در ابتدا که جریان مجرایی و زمان ماندگاری آب در مجاری کم است بیکربناته کلسیک- منیزیک است ولی به تدریج میزان جریان مجرایی کم شده و تاخیر آب در آبخوان بیشتر و تیپ آب به سمت بیکربناته منیزیک- کلسیک متمایل می‌شود.

## ۷- تشکر و قدردانی

از مدیریت محترم مطالعات پایه منابع آب (سازمان آب و برق خوزستان) که هزینه اجرای این پژوهش را فراهم نموده‌اند و همچنین از دانشکده علوم زمین- دانشگاه شهید چمران به خاطر همکاری و مساعدت سپاسگزاری می‌شود.

## ۸- مراجع

آگاسی، ع، (۱۳۷۸). هیدروژئولوژی کارست. انتشارات طرح تهیه استانداردهای مهندسی آب کشور.

ریاحی پور، م، (۱۳۷۹). تعیین خصوصیات سفره آبدار کارستی یال شمالی تاقدیس سالدوران با استفاده از پارامترهای فیزیکوشیمیایی چشمۀ پیر غار - فارسان، رساله کارشناسی ارشد آبهای زیرزمینی، گروه زمین شناسی دانشگاه شهید چمران اهواز.

صاحب‌دل، م، کلانتری، ن، حمیدی زاده، ف، و کشاورزی، م، (۱۳۸۷). بررسی ارتباط بین نوع‌ها شکستگی‌ها و رفتار هیدرولیکی سنگ مخزن چشمۀ‌های کارستی منطقه شیمبار، شمال شرق استان خوزستان. مجموعه مقالات دوازدهمین همایش انجمن زمین شناسی ایران، ص ۲۷۵-۲۸۱.

- from regional flow systems of carbonate-rock province of Great basin, western United States, *Hydrogeology Journal*, 18, pp. 1007-1026.
- Ronit, B.A., Tamir, G., Amos, F., (2010). Characterization of the hydrogeology of the sacred Gilon springs, Jerusalem, *Hydrogeology Journal*, 18, pp. 1465-1479.
- Stadler, S., Osenbrick, K., Suckow, A.O., Himmelsbach, T., Hotzl, H., (2010). Groundwater flow regime, recharge and regional-scale solute transport in the semi-arid Kalahari of Botswana derived from isotope hydrology and hydrochemistry, *Journal of hydrology*, 388, pp. 291-303.
- Schoeller, H., (1948). Le régime hydrogénologique des calcaires éoce`nes du Synclinal du Dyr el Kef (Tunisie). *Bull. Soc. Geol. Fr.* 5 (18), pp. 167–180.
- Tam, V.T., De Smedt, F., Batelaan, O., Dassargues, A., (2004). Study on The relationship between linements and borehole specific capacity in a fractured and karstified limestone area in Vietnam, *Hydrogeology Journal*, 12, pp. 662-673.
- White, W. B. & Schmidt, VA, (1966). Hydrology of a Karst area in east central West Virginia. *Water Resources Research*, 2, pp. 549-560.
- White, W. B., (1969). Conceptual models for carbonate aquifers, *Ground water*, 7, 3, pp. 15-21.
- White, W. B., (2002). Karst Hydrology: recent developments and open questions, *Engineering Geology*, 65(2002), pp. 85-105.
- Zojer, H., (2008). Karst Hydrogeology and Hydrodynamics. Proceeding of 8th International Hydrogeological Congress of Greece, Athens, I, pp.191-196.
- hydrograph analysis, *Journal of Hydrology*, 303, pp. 152-164.
- Maillet, E., (1905). *Essais d'hydraulique souterraine et fluviale*. Librairie Sci., A. Hermann, Paris, 218 p.
- Michelle, B., Stephen, T.N., David, T., Dennis, E., (2010), Regional groundwater flow in structurally-complex extended terrenes: An evaluation of sources of discharge at ash Meadows, Nevada. *Journal of hydrology*, 386, pp. 118-129.
- Migros, G., Stournaras, G., Stamatis, G., Evelpidou, N., Botsialas, C., Antoniou, V., and Vassilakis, E., (2008). Geological and tectonic study of the fissured rocks of the Hellenides and their Hydrogeological pattern, Athens, 1, pp. 67-94.
- Milanovic, P. T., (1981). *Karst hydrogeology*, Water Resources publications, 434 p.
- Raeisi, E., (2002). Carbonate karst caves in Iran. In: Kranjc A (Ed) Evolution of Karst: from prekarst to cessation. Ljubljana-postojna, pp. 339 – 344.
- Raeisi, E., Pezeshkpoor, P., and Moore, f., (1993). characteristics of Karst aquifer as indicated by temporal changes of the springs physicochemical parameters, *Iranian Journal of science & technology*, 17, pp. 17-28.
- Rahnemaei, M., (2005). Application of spectral analysis of daily water level & spring discharge hydrographs data for comparing physical characteristics of karstic aquifers. *Jornal of hydrology*, 311, pp. 106-116.
- Robert, M.D., (2009). Structural geology controls on groundwater flow: Lambang fault case study, west java, Indonesia, *Hydrogeology Journal*, no 10, pp. 1007-1040.
- Ronad, L.H., Stev, A.M; and Sam, E., (2010). Chemical and physical characteristics of spring discharging